

ОПРЕДЕЛЕНИЕ НАПРЯЖЕНИЙ В СЕЧЕНИЯХ ЖЕЛЕЗОБЕТОННОГО ЭЛЕМЕНТА С УЧЕТОМ ДЕЙСТВИТЕЛЬНОЙ СТЕПЕНИ НЕЛИНЕЙНОСТИ НЕОБРАТИМОЙ СОСТАВЛЯЮЩЕЙ ДЕФОРМАЦИЙ ПОЛЗУЧЕСТИ БЕТОНА

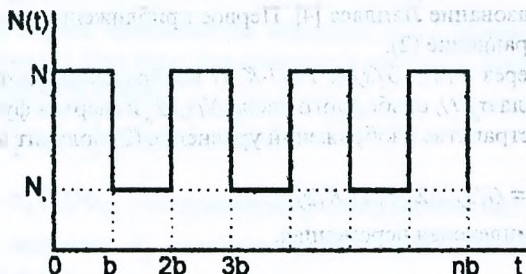
Н.А. КОЛЕСНИКОВ, БПИ, г. БРЕСТ

Правильный и полный учет при проектировании железобетонных конструкций длительных деформаций, вызванных ползучестью бетона, как известно, имеет большое практическое значение. Ниже предлагается решение задачи по определению напряженно-деформированного состояния в сечениях железобетонного элемента с учетом деформаций ползучести бетона при степени нелинейности необратимой составляющей этих деформаций, установленной в работе [1].

Рассмотрим центрально сжатый железобетонный элемент под нагрузкой, изменяющейся во времени в соответствии с графиком, показанным на рисунке. Данный график изменения нагрузки можно аппроксимировать функцией вида

$$N_t = \sum_{n=1}^{\infty} [N - (N - N_0) U_1(t - n \cdot b)], \quad (1)$$

где $U_1(t - n \cdot b)$ принимает значения [2]



$$U_1(t - n \cdot b) = \begin{cases} 0 & \text{при } 2n \cdot b < t < (2n + 1)b \\ 1 & \text{при } (2n + 1)b < t < (2n + 2)b, n = 0, 1, 2, \dots \end{cases}$$

Будем отсчитывать время от начала загрузки элемента. Положим, что модуль упруго-мгновенных деформаций бетона $E_6 = \text{const}$.

Можно показать, что известное решение академика Н.Х. Арутюняна [3] при $N = N(t)$ получит вид

$$\sigma_6(t) = \frac{N(t)}{F_n} - \lambda_0 \int_0^t \sigma_6(\tau) \cdot e^{-\gamma(t-\tau)} d\tau, \quad (2)$$

где $F_n = F_0 / (1 + \mu \cdot m)$ – площадь приведенного сечения элемента;

$\mu = F_a / F_0$ – процент армирования;

$m = E_a / E_6$ – модульное отношение;

$\lambda_0 = \mu \cdot E_a \cdot C_0 \cdot \gamma / (1 + \mu \cdot m)$ – параметр.

Здесь первый член соответствует упруго-мгновенным напряжениям, а второй – величине их уменьшения за счет линейной составляющей деформаций ползучести. Так как выражение (2) не учитывает нелинейной составляющей этих деформаций, то $\sigma_6(t)$, определенное на его основе, будет превышать экспериментальные значения напряжений тем в большей степени, чем выше уровень действующих напряжений. Их соответствия можно добиться, используя уравнение вида

$$\sigma_6(t) = \frac{N(t)}{F_n} - \lambda_0 \int_0^t \sigma_6(\tau) \cdot e^{-\gamma(t-\tau)} d\tau - \lambda_1 \cdot \varepsilon_{н6}(t). \quad (3)$$

Последнее слагаемое в правой части выражения (3) соответствует величине уменьшения упруго-мгновенных напряжений в бетоне за счет нелинейной составляющей деформаций ползучести.

Найдем решение этого уравнения путем последовательных приближений, используя преобразование Лапласа [4]. Первое приближение значения $\sigma_6(t)$ получим, решив уравнение (2).

Обозначим через $F(s)$, $G(s)$ и $F(s) \cdot K(s)$ изображения соответственно искомого оригинала $\sigma_6(t)$, свободного члена $N(t)/F_n$ и свертки функции $\sigma_6(t)$ и $e^{-\gamma t}$. Тогда в пространстве изображений уравнение (2) получит вид

$$F(s) = G(s) - \lambda_0 \cdot F(s) \cdot K(s), \quad (4)$$

где $s = x + jy$ – комплексная переменная.

С учетом (1) после преобразований получим

$$G(s) = \frac{1}{F_n} \cdot \frac{1}{s} \left[N + (N - N_0) \sum_{n=1}^{\infty} (-1)^n e^{-nbs} \right]. \quad (5)$$

Так как

$$K(s) = \int_0^{\infty} e^{-\gamma t} e^{-st} dt = \frac{1}{s + \gamma}, \quad (6)$$

то для $F(s)$ будем иметь

$$G(s) = \frac{1}{F_n} \cdot \frac{s + \gamma}{s(s + \alpha)} \left[N + (N - N_0) \sum_{n=1}^{\infty} (-1)^n e^{-nbs} \right], \quad (7)$$

где $\alpha = \lambda_0 + \gamma$.

После разложения дробно-рациональной функции $\frac{s + \gamma}{s(s + \alpha)}$ на

простейшие дроби

$$\frac{s + \gamma}{s(s + \alpha)} = \frac{\gamma}{\alpha} \cdot \frac{1}{s} + \frac{\lambda_0}{\alpha} \cdot \frac{1}{s + \alpha},$$

используя обратное преобразование Лапласа, найдем [5]

$$\sigma_6(t) = \frac{1}{F_n} \left\{ N(t) \frac{\gamma}{\alpha} + \frac{\lambda_0}{\alpha} \sum_{n=1}^{\infty} \left[N \cdot e^{-\alpha t} + (-1)^n (N - N_0) U_2(t - n \cdot b) \right] \right\}. \quad (8)$$

$$\text{Здесь } U_2(t - n \cdot b) = \begin{cases} 0 & \text{при } 0 < t < n \cdot b \\ e^{-\alpha(t - n \cdot b)} & \text{при } t > n \cdot b \end{cases}$$

Получив первое приближение значений $\sigma_6(t)$, вычислим нелинейную часть уравнения (3). При этом, как показано в работе [1], функция напряжений может быть принята в виде

$$f[\sigma_6(\tau)] = \sigma_6(\tau) \cdot \bar{\sigma}_6^2(\tau),$$

где $\bar{\sigma}_6^2(\tau) = \sigma_6(t) / \sigma_0$ – относительные напряжения при принятом далее единичном значении σ_0 численно равные фактически действующим напряжениям $\sigma_6(\tau)$.

С учетом необратимости нелинейной составляющей деформаций ползучести при уменьшении напряжений ее накопление будет происходить на нечетных участках загрузки (см. рис.) при напряжениях, как это следует из (8), составляющих

$$\sigma_{\theta}(t) = \frac{N}{F_n} \left(\frac{\alpha}{2} + \frac{\lambda_0}{\alpha} e^{-\alpha t} \right)$$

$$\sigma_{\theta}(t) = \frac{N(t)}{F_n} - \lambda_0 \int_0^t \sigma_{\theta}(\tau) \cdot e^{-\gamma(t-\tau)} d\tau - \lambda_1 \cdot \theta \left[\frac{\gamma^3}{\varphi} (1 - e^{-\varphi t}) + \frac{3\gamma^3 \lambda_0}{\beta} (1 - e^{-\beta t}) + \frac{3\gamma \lambda_0^2}{\delta} (1 - e^{-\delta t}) + \frac{\lambda_0^3}{\eta} (1 - e^{-\eta t}) \right], \quad (9)$$

где $\theta = \frac{\varphi \cdot C_{\text{эм}}}{\alpha^3} \left(\frac{N}{F_n} \right)^3$; $\beta = \alpha + \varphi$; $\delta = 2\alpha + \varphi$; $\eta = 3\alpha + \varphi$ – параметры.

Вторым приближением в пространстве изображений будет

$$F(s) - G_n(s) - \lambda_0 \cdot F(s) \cdot K(s), \quad (10)$$

где

$$G_n(s) = \frac{1}{F_n} \cdot \frac{s + \gamma}{s(s + \alpha)} \left[N + (N - N_0) \sum_{n=1}^{\infty} (-1)^n e^{-n \cdot b \cdot s} \right] - \lambda_1 \theta \frac{s + \gamma}{s(s + \alpha)} \left(\frac{\gamma^3}{s + \varphi} + \frac{3\gamma^3 \lambda_0}{s + \beta} + \frac{3\gamma \lambda_0^2}{s + \delta} + \frac{\lambda_0^3}{s + \eta} \right). \quad (11)$$

Соответствующий оригинал $\sigma_{\theta}(t)$ из (10) найдем после разложения дробно-рациональных функций в (11) на простейшие дроби. Опуская промежуточные вычисления, получим

$$\sigma_{\theta}(t) = \frac{1}{F_n} \left\{ N(t) \frac{\gamma}{\alpha} + \frac{\lambda_0}{\alpha} \sum_{n=1}^{\infty} \left[N \cdot e^{-\alpha t} + (-1)^n (N - N_0) U_2(t - n \cdot b) \right] \right\} - \lambda_1 \theta \left(\frac{\gamma^3}{\varphi} + \frac{3\gamma^3 \lambda_0}{\beta} + \frac{3\gamma \lambda_0^2}{\delta} + \frac{\lambda_0^3}{\eta} \right) \left(\frac{\gamma}{\alpha} + \frac{\lambda_0}{\alpha} e^{-\alpha t} \right) +$$

$$\begin{aligned}
 & + \lambda_1 \theta \frac{\gamma^3}{\varphi} \left(\frac{\lambda_0}{\alpha - \varphi} e^{-\alpha t} + \frac{\gamma - \varphi}{\alpha - \varphi} e^{-\varphi t} \right) + \lambda_1 \theta \frac{3\gamma^2 \lambda_0}{\beta} \left(\frac{\lambda_0}{\alpha - \beta} e^{-\alpha t} + \frac{\gamma - \beta}{\alpha - \beta} e^{-\beta t} \right) + \\
 & + \lambda_1 \theta \frac{3\gamma \lambda_0^2}{\delta} \left(\frac{\lambda_0}{\alpha - \delta} e^{-\alpha t} + \frac{\gamma - \delta}{\alpha - \delta} e^{-\delta t} \right) + \lambda_1 \theta \frac{\lambda_0^3}{\eta} \left(\frac{\lambda_0}{\alpha - \eta} e^{-\alpha t} + \frac{\gamma - \eta}{\alpha - \eta} e^{-\eta t} \right). \quad (12)
 \end{aligned}$$

Для суждения о степени соответствия второго приближения величины напряжений в бетоне $\sigma_b(t)$ их экспериментальным значениям была произведена обработка соответствующих опытных данных. Железобетонные призмы, армированные одиночным стержнем $\varnothing 12$ мм из стали класса А-II ($\mu = 2,5\%$), загружались периодической нагрузкой с периодом, равным 14 суток, по схеме, показанной на рисунке. Продольные деформации призм измерялись индикаторами с ценой деления 0,001 мм на базе 440 мм, а относительные деформации арматурного стержня – тензорезисторами, наклеенными в специальных выточках на его поверхности. Напряжения в бетоне вычислялись после определения напряжений в арматуре с использованием равенства

$$\sigma_a(t) \cdot F_a + \sigma_b(t) \cdot F_b = N(t).$$

Удельные относительные деформации (меры) ползучести представлялись в виде суммы двух составляющих – линейной $C_{мин}(t-\tau)$ и нелинейной $C_n(\sigma, t-\tau)$.

Нагрузка, кН	Продолжительность наблюдения t-τ, сут.	Величины напряжений $\sigma_b(t)$, МПа	
		экспериментальные	теоретические
134,0	1	23,6	24,3
	7	23,23	23,97
55,7	8	9,15	9,72
	14	9,19	9,60
134,0	15	23,21	23,62
	21	23,00	23,40
55,7	22	8,93	9,34
	28	8,98	9,29
134,0	29	23,02	23,16
	35	22,79	23,01
55,7	36	8,76	9,11
	42	8,83	9,09
134,0	43	22,95	22,85
	49	22,81	22,74
55,7	50	8,72	8,97
	56	8,78	8,97
134,0	57	22,87	22,62
	63	22,76	22,55

Смысл обозначений, а также методические приемы определения величин $C_{mb}(t-\tau)$ и $C_s(\sigma, t-\tau)$ приведены в работе [1].

Модульное отношение к моменту первоначального нагружения образцов из бетона в возрасте 64 суток, составляло 5,8.

Сопоставление экспериментальных величин напряжений в бетоне с их теоретическими значениями показало, что нет необходимости в вычислении следующих приближений для $\sigma_g(t)$. Наибольшее расхождение в сравниваемых величинах не превышало 6,2 % (см. табл.).

Таким образом, выражение (3) с учетом необратимости нелинейной составляющей деформаций ползучести и степени ее нелинейности, установленной в работе [1], позволяет количественно правильно оценить напряженно-деформированное состояние в сечениях железобетонного элемента.

ЛИТЕРАТУРА

1. Александровский С.В., Колесников Н.А. Влияние величины уровня повторно действующих напряжений на ползучесть бетона // Сб. "Расчет и конструирование железобетонных конструкций", УП Всесоюзная конференция по бетону и железобетону. – М.: Стройиздат, 1972. – 188 с.
2. Roberts G.E., Kaufman H. Table of Laplace Transforms, 1966.
3. Арутюнян Н.Х. Некоторые вопросы теории ползучести. – М.: Гостехтеоретиздат, 1952. – 323 с.
4. Дёч Г. Руководство к практическому применению преобразования Лапласа и Z-преобразования. – М.: Наука, 1971.
5. Колесников Н.А. Напряженное состояние в железобетонном элементе с учетом ползучести бетона при повторной нагрузке // Сб. "Проблемы технологии производства строительных материалов, изделий и конструкций, строительства зданий и сооружений", ч. I. – Брест: БПИ, 1998. – 247 с.